

### III-76 締固め土の圧縮・引張強度特性

埼玉大学工学部 正員 風間秀彦  
埼玉大学工学部 正員 小田匡竜  
高知県 正員 ○道倉隆啓

#### 1. まえがき

土の引張強度は圧縮強度に比べて多くは小さいために一般に無視されている。しかし、ここでは研究が非常に少なく、引張り特性に関する未知の部分が多い。試験方法には圧裂、割裂、直接引張りなどがあるが、いずれも確立されたものではない。一方、道路やフィルダムなどの盛土の静的および地震時の引張破壊が問題となる場合がしばしばあり、引張強度特性に対する解明の必要性が高まるべきである。よって引張強度の性状を把握することは有益であり、本報告はこれについての基礎的な資料を得ることを目的とした。すなわち、その第1歩として、三軸応力状態で引張・圧縮試験を行ない、両領域における破壊包絡線の形状変化および力学的特性に関して、実験的に検討を試みた。

#### 2. 試料と実験方法

試料は埼玉県吉見町から採取したマサエ(片麻岩の風化したもの)を用いた。試料の物理的性質は表-1のとおりである。粒

表-1 試料の物理的性質

$G_s$	$W_R$	LL	PL	液分	砂分	泥分	粘土分
2.75	31.1%	52.9%	31.8%	27%	42%	19%	12%

度組成は良好の材料である。試料は4.76 mm以下の方を用い、空気乾燥させた後5種類の含水比に試料を調整した。供試体は締固め仕事量5.6 cm<sup>3</sup>/kg/cm<sup>2</sup>で充固めて直徑5 cmに成形し通常の三軸圧縮試験を行なった。三軸引張試験はBishopの方法を準用して、図-1に示すような供試体をつくる。すなわち、中央部を絞4.5 cmにして、端部を石膏で固める。そして石膏と上下の加压板を接着剤で固定した。三軸室にセットした後、等方的に側圧を作用せし。いずれの場合でも側圧をかけて約1時間放置してからセン断した。セン断速度は圧縮が0.1%/分、引張が0.05 mm/分である。なお、引張試験では供試体中央のくびれ部分が切斷されたデータのみを採用した。

#### 3. 実験結果と考察

図-2に試料の締固め曲線と圧縮の破壊時主応力差を示した。同様に引張の場合を図-3に示した。試料の最適含水比は27%，最大乾燥密度は1.52 g/cm<sup>3</sup>である。締固め土の圧縮強さは、含水比の増加につれて大きくなり、最適含水比のやや乾燥側で図-2を示し、それ以後は減少する。また、側圧が大きくなると乾燥側の強度変化が小さくなる。一方、引張試験ではほぼ同様であるが、最適含水

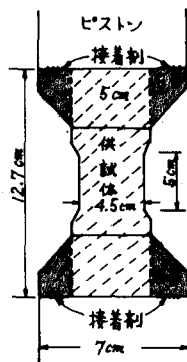


図-1 供試体の形状

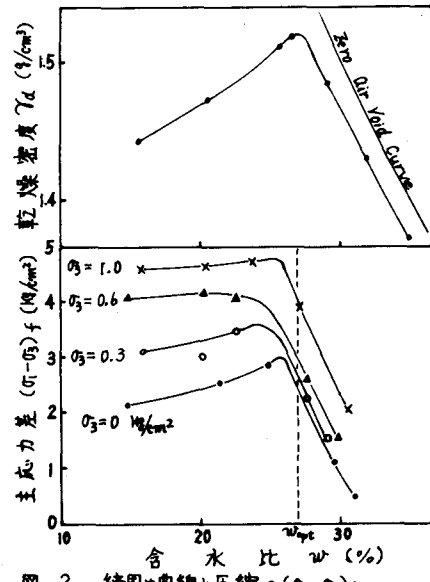


図-2 締固め曲線と圧縮の( $\sigma_1 - \sigma_3$ )f

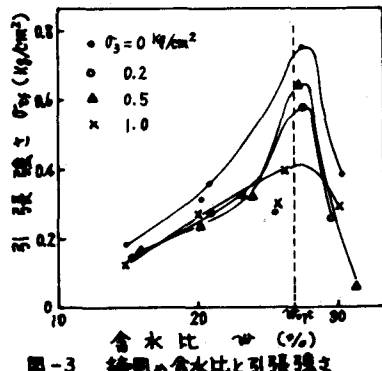


図-3 締固めの含水比と引張強さ

比よりりやや湿润側でピークを示すのが特徴である。両者とも引張強度は、せん断機構の違いによると考えられる。また、引張は圧縮に比べてデータのばらつきが大きい。この理由は、引張強度は試料状態のむずかしさ違いによる敏感であること、測定値が小さいため試験機の精度の問題、および負の間ゲキ圧の発生などが考えられる。

図-4に引張ヒズミと引張応力の関係を示す。こなヒズミは供試体全体の変形量をくびれた部分の変形量として見なしたものである。当初、等方的に側圧を作用させたり側圧分と引張応力までの供試体には圧縮応力が働いていた。応力ヒズミ曲線は圧縮と同様な曲線を示し、当然のことながらヒズミが大きくなる間に弾性的である。そして含水比が大きくなるとヒズミが増加に対し、応力が増加が急激に低下する点が生じる。この傾向は含水比が大きいほど顕著であり $w=30\%$ では引張曲点から $0.4 \sim 1.0$ ヒズミが増加して破壊が生じる。図-5の含水比と引張の破壊ヒズミとの関係は圧縮の場合と同様である。すなわち、含水比が大きくなれば $\delta_f$ も大きくなり、最適含水比なしよりもよりりや乾燥側の点から $\delta_f$ は大きくなる。側圧と $\delta_f$ の関係は圧縮よりも明白でない。引張は圧縮に比べて破壊ヒズミが小さい(約 $\frac{1}{10} \sim \frac{1}{4}$ )のが特徴である。

圧縮・引張モール円と破壊包絡線を図-6に示す。図中の実線の包絡線およびCと中は圧縮側の結果より求めたものである。引張側の包絡線の形状を圧縮側と比較すると、含水比が低い場合、引張側では急激なカーブを描いて落ち込み、含水比が大きくなると落ち込み方はゆるやかになる。そして、最適含水比に近づくにつれて圧縮側の包絡線よりゆるやかな曲線となり、それを過ぎると両者はひとつの直線に近づく。図-6の(b)と(c)の相違は前述の

破壊応力のピークが  
Rに起因するとと思われる。  
以上のことから三軸

心力状態の圧縮・引張  
強度特性について  
つかう点が明らかにな  
った。しかし、引張試  
験には問題点があり、  
今後改良をして、実験  
をする予定である。最  
終は本研究は50年度科  
研費の補助金(代表者  
東大・福岡教授)を受け  
て行なったものである  
ことを付記する。

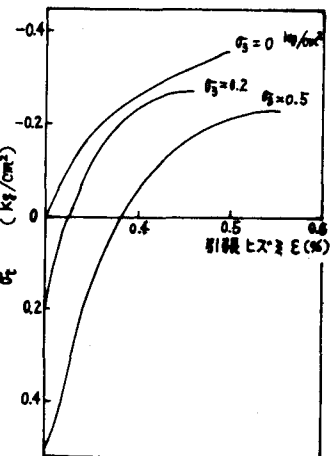


図-4 引張ヒズミと $\sigma_3$  ( $w=20\%$ )

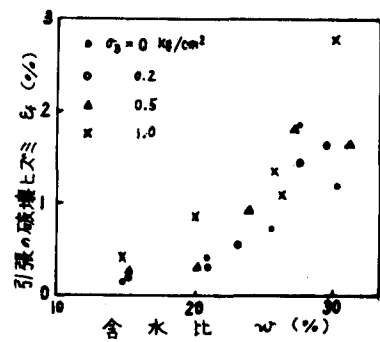


図-5 含水比と引張の破壊ヒズミ

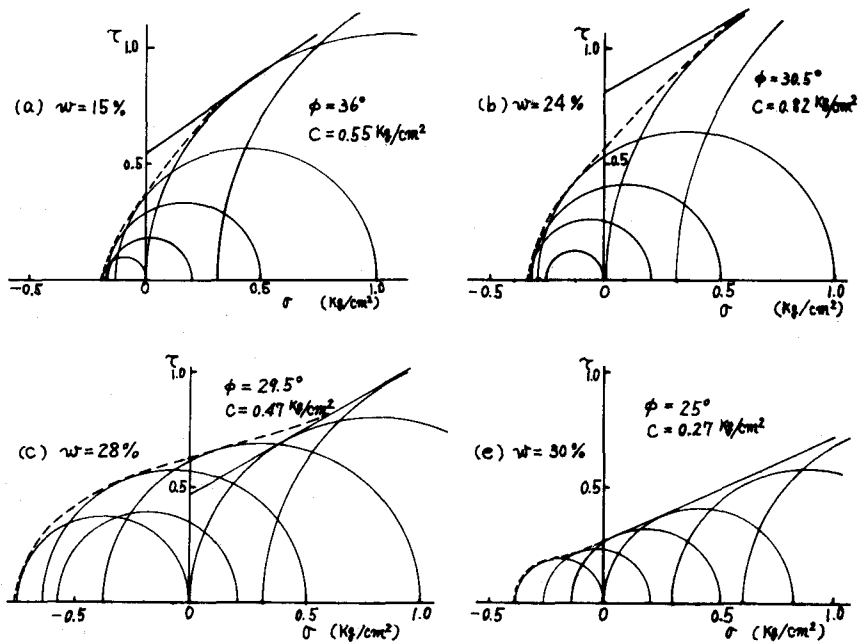


図-6 モールの応力円と包絡線